

Journal of Natural Environmental Hazards, Vol.11, Issue 33, Autumn 2022

Structural analysis and environmental factors affecting the formation of the Siberian high-pressure core in the Baikal and Balkhash lakes

Hassan Lashkari^{1*}, Zainab Mohammadi², Mohsen Moradi³

1. Corresponding Author, Associate Professor, Department of Physical Geography, School of Earth Science, The University of Shahid Beheshti (SBU), Tehran, Iran

2. Postdoctoral Synoptic Climatology, Department of Physical Geography, School of Earth Science, The University of Shahid Beheshti (SBU), Tehran, Iran

3. Synoptic Climatology, Department of Physical Geography, School of Earth Science, The University of Shahid Beheshti (SBU), Tehran, Iran

Article Info

ABSTRACT

Article type:

Research Article

Article history:

Received: 12 November 2020

Revised: 04 December 2021

Accepted: 22 January 2022

Keywords:

Siberian High Pressure, Baikal and Balkhash lakes, central Core.

The Siberian high-pressure system is one of the components of atmospheric circulation affecting the climate of Iran, especially in the cold season of the year. In this research, the place of the initial formation of this system and its synoptic features have been investigated. For this purpose, the lower tropospheric levels of atmospheric data for the three months December to February data from NCEP / NCAR were received for 22 years. Systems with thermal characteristics were isolated. Then, the central core of this system was determined daily for all months and their geographical coordinates were calculated. The results show that in the vast majority of the months from December to February, the main Siberian high-pressure core is located in the lower atmosphere of the Altai Mountains. The study also found that more than half of the days of Siberian high-pressure had two central nuclei. Thus, contrary to popular belief, the Siberian high-pressure core forms not on the low Siberian plains but the high altitudes of the Altai and Sayan Mountains. Adaptation of isothermal, isobaric, and height maps also showed that the core of the cold in the cold three months was generally on the north or northeast of the Siberian desert. However, the high-pressure core was located on these two high mountains for almost a day. Therefore, in addition to cold, the topographic factor (northwest-southeast extension) plays a very important role in the formation of the high-pressure core. According to the general results of research, this high pressure, directly or indirectly, is the cause of colds and cold waves in the cold period of the year, as well as early and late waves in the country.

Cite this article: Lashkari, H., Mohammadi, Z., & Moradi, M. (2022). Structural analysis and environmental factors affecting the formation of the Siberian high-pressure core in the Baikal and Balkhash lakes. Journal of Natural Environmental Hazards, 11(33), 21-38. DOI: 10.22111/jneh.2022.36472.1726



© Hassan Lashkari.

DOI: 10.22111/jneh.2022.36472.1726

Publisher: University of Sistan and Baluchestan

* Corresponding Author Email: h-lashkari@sbu.ac.ir

مجله علمی پژوهشی مخاطرات محیط طبیعی، دوره یازدهم، شماره ۳۳، پاییز ۱۴۰۱

تحلیل ساختاری و عوامل محیطی موثر بر شکل‌گیری هسته مرکزی پرفشار سیبری در محدوده دریاچه‌های بایکال و بالخاش

حسن لشکری^{۱*}، زینب محمدی^۲، محسن مرادی^۳

۱. دانشیار گروه جغرافیای طبیعی، دانشکده علوم زمین، دانشگاه شهید بهشتی، تهران (نویسنده مسئول)
۲. پسادکتری آب و هوای شناسی سینوبتیک، دانشکده علوم زمین، دانشگاه شهید بهشتی، تهران
۳. کارشناسی ارشد، دانشکده علوم زمین، دانشگاه شهید بهشتی، تهران

اطلاعات مقاله

چکیده

سامانه پرفشار سیبری یکی از عناصر سازنده گردش جوی مؤثر بر آب و هوای کشور ایران بویژه در فصل سرد سال است. در این تحقیق به مکان شکل‌گیری اولیه این سامانه و ویژگی‌های همیدیدی آن پرداخته شده است. برای این منظور داده‌های جوی ترازهای زیرین و ردپسپهر برای سه ماه دسامبر تا فوریه از داده‌های NCEP/NCAR برای یک دوره ۲۲ ساله دریافت شد. سامانه‌های با پیوندی حرارتی جداسازی شد. سپس هسته مرکزی این سامانه برای تمام ماه‌ها به تفکیک روزانه تعیین و مختصات جغرافیایی آن‌ها محاسبه گردید. نتایج نشان داد که در اکثر قریب به اتفاق روزهای سه ماه دسامبر تا فوریه هسته اصلی پرفشار سیبری در ترازهای زیرین جوی بر روی کوه‌های آلتای و سایان قرار دارد. این تحقیق همچنین نشان داد که در بیش از نیمی از روزهای هر ماه پرفشار دارای دو هسته مرکزی بوده است. که در این حالت همواره هسته اصلی بر روی کوه‌های آلتای و هسته ثانوی بر روی ارتفاعات سایان قرار می‌گیرد. بنابراین برخلاف تصور هسته مرکزی پرفشار سیبری نه بر روی دشت‌های پست سیبری که بر روی ارتفاعات بلند کوه‌های آلتای و سایان تکوین پیدا می‌کنند. همچنین انطباق نقشه‌های همدما و همفشار و همارتفاع نیز نشان داد که هسته اصلی سرما در سه ماه سرد عموماً بر روی شمال یا شمال شرق صحرای سیبری قرار داشت. در صورتی که هسته اصلی پرفشار در بیشتر روزها بر روی این دو کوهستان مرتفع قرار داشت. بنابراین علاوه بر سرما عامل توپوگرافی (امتداد شمال‌غربی - جنوب‌شرقی) نقش بسیار مهمی در مکان شکل‌گیری هسته پرفشار دارد. بر اساس نتایج عموم تحقیقات انجام شده این پرفشار، بطور مستقیم یا غیرمستقیم، عامل سرمایه و امواج سرد دوره سرد سال و همین طور امواج زودهنگام و دیرهنگام کشور می‌باشد.

نوع مقاله: مقاله پژوهشی

تاریخ دریافت: ۱۳۹۹/۰۸/۲۲

تاریخ ویرایش: ۱۴۰۰/۰۹/۱۳

تاریخ پذیرش: ۱۴۰۰/۱۱/۰۲

واژه‌های کلیدی:

پرفشار سیبری، دریاچه‌های
بايكال و بالخاش ، هسته
مرکزی پرفشار.

استناد: لشکری، حسن، محمدی، زینب، & مرادی، محسن. (۱۴۰۱). تحلیل ساختاری و علت تشکیل هسته مرکزی پرفشار سیبری در محدوده

دریاچه‌های بايكال و بالخاش. *مخاطرات محیط طبیعی*, ۳۳(۱۱)، ۱۷۲۶-۱۷۲۶، ۳۸-۲۱.

DOI: 10.22111/jneh.2022.36472

© حسن لشکری*، زینب محمدی، محسن مرادی.

ناشر: دانشگاه سیستان و بلوچستان



مقدمه

سامانه پرفشار سیبری یکی از عناصر سازنده گردش جوی مؤثر بر آبوهای کشور ایران بویژه در فصل سرد سال است. این سامانه در گسترش غرب‌سوی خود گاه بخش زیادی از پهنه قاره اروپا را نیز تحت‌تأثیر قرار می‌دهد. بر روی آسیا گستره زبانه‌های آن تقریباً تمام آسیا را در بر می‌گیرد. کشور ایران بخصوص در دوره سرد سال به کرات از ویژگی‌های اقلیمی آن متأثر می‌شود. مطالعه انجام‌شده توسط لشکری و یارمرادی (۱۳۹۳)، نشان می‌دهد که این پرفشار عموماً از سمت شمال‌شرق بر روی ایران گسترش یافته و گاه تا جنوب‌شرق ایران نفوذ پیدا کرده و در ادامه بر روی دریای عمان نیز گسترش می‌یابد. هدف این مطالعه شناسایی مکان اولیه تکوین و استقرار هسته مرکزی این پرفشار در دوره سرد سال می‌باشد. نخستین بار (گالتون، ۱۸۶۱)، برای مراکز فشاری که دارای خصوصیات مخالف با چرخدن بودند، اصطلاح واچرخدن را به کار برد (جعفر پور، ۱۳۷۱: ۳۴). در زمینه پیشینه مطالعات سامانه پرفشار سیبری، موضوع‌های متفاوتی مطرح می‌باشد که در این خصوص، افرادی گوناگون به پژوهش پرداخته‌اند. از جمله آن‌ها، پژوهش‌های مرتبط با گسترش قلمرو مکانی زبانه‌های هوای سرد سامانه پرفشار سیبری است. از این دسته می‌توان به پژوهش‌هایی چون چان و همکاران (۲۰۰۴)، با عنوان مونسون‌های زمستانه آسیای شرقی؛ دینگ (۱۹۹۰)، نحوه تشکیل، انتقال توده‌هوا و پیشوی پرفشار سیبری و ارتباط آن با موج هوای سرد در شرق آسیا و تاکاشی (۱۹۹۰) اشاره کرد. نتایج آن‌ها حاکی از فرارفت شدید هوای سرد سامانه مذکور در قالب هدایت امواج متعدد به سوی شرق آسیا و چین می‌باشد. همچنین از این دسته پژوهش‌هایی همچون حسینی و همکاران (۲۰۱۳)، با الگوریتم گردش حاره‌ای و دمای سطح دریا با استفاده از الگوریتم (SHI) ارتباطی قوی بین دمای سطح دریا طی فصل زمستان در سراسر مناطق شمال‌غرب و غرب عربستان نشان داد. علاوه‌براین، تاکایا و ناکامورا (۲۰۰۵)، طی مطالعه خود به گسترش این سامانه تا پیرامون نواحی شمال‌شرقی اقیانوس آرام نیز اشاره می‌کنند. دسته‌ای دیگر از پژوهش‌ها به روابط پویشی پرفشار سیبری با دیگر سامانه‌ها در قالب پیوند از دور می‌پردازند. از جمله گانگ و هو (۲۰۰۲)؛ لینگیس و میچائیلدز (۲۰۰۹) و ایران‌نژاد (۱۳۸۸) به ترتیب ارتباطی قوی را میان سامانه پرفشار سیبری با نوسانات قطبی، ناهنجاری‌های دمایی در محدوده کانادا و چرخدن‌زایی‌های مدیترانه نشان می‌دهند. دسته‌ی سوم از پژوهش‌ها به چگونگی شرایط شکل‌گیری سامانه مزبور در محدوده مورد مطالعه می‌پردازد لیدولف (۱۹۷۷)؛ دینگ و کریشنامورتی (۱۹۸۷)؛ ژانگ (۱۹۹۶)؛ کوهن و همکاران (۲۰۰۱)، دریافتند که شدت بالای مقادیر پرفشار سیبری در ماه‌های دسامبر و ژانویه رخ می‌دهد. نتایج آن‌ها وجود پوشش برف‌پوش آسیا را در شکل‌گیری این سامانه، مهم قلمداد کرده‌اند. در مقابل، برخی چون علیجانی (۱۳۶۹)، عامل اصلی شکل‌گیری سامانه را امواج بادهای غربی دانسته و الگوی جریان تراز ۵۰۰ هکتومتریک را برای شناخت شدت و مدت موقعیت فرابار سیبری ضروری می‌داند. درنهایت آخرین دسته از پژوهش‌ها بیانگر شرایط زمانی و مکانی سامانه پرفشار سیبری در ایران است. در این خصوص پژوهش‌هایی چون تقی‌زاده (۱۳۶۶)، با عنوان بررسی سیل پاییز ۱۳۶۵ ازنظر هواشناسی؛ بلیغی (۱۳۷۵)، با عنوان زمان‌یابی ورود فرابار سیبری به خراسان و تأثیر سینوپتیکی آن بر اقلیم منطقه؛ چوخارچی‌زاده‌مقدم (۱۳۷۶)، در تحقیقی عنوان آثار سینوپتیکی پرفشار سیبری بر روی دمای‌های شمال شرقی ایران؛ شبانکاری (۱۳۸۷) و موسوی‌بایگی و همکاران (۱۳۹۱)، با مطالعه الگوهای سینوپتیکی منجر به خشکسالی‌های پاییزه و زمستانه خراسان رضوی، به نفوذ زبانه‌های پرفشار سیبری از سوی شرق و شمال‌شرق ایران توجه دارند. کاویانی و همکاران (۱۳۸۶)، با

بررسی شناخت رفتار زمانی - مکانی پرفشار سبیری در تراز دریا با استفاده از داده‌های فشار سطح دریا در یک بازه زمانی ۵۶ ساله به این نتیجه دست یافتند که پرفشار سبیری به عنوان یک سامانه همدیدی از میانه مهرماه تا میانه فروردین ماه بر آسیا حاکم است و به سبب گستردگی زیاد از عوامل اصلی اقلیم اوراسیا در نیمه سرد سال است. از طرفی جهانبخش و همکاران (۱۳۷۸)، با تحلیل همدیدی تأثیر پرفشار سبیری بر بارش سواحل جنوبی دریاچه خزر؛ یوسفی و همکاران (۱۳۸۴)، در تحقیقی با استفاده از داده‌های حداقل فشار سه ایستگاه انزلی، بابلسر و همدان در یک دوره آماری ۹ ساله به ورود این سامانه مهم از مسیر مزهای شمالی و دریاچه خزر به کشور پرداخته است. به طور کلی پژوهش‌هایی چون علیجانی (۱۳۸۶)؛ لشکری (۱۳۸۷)؛ عزیزی و همکاران (۱۳۸۹)؛ حلبیان و همکاران (۱۳۹۱)، سامانه پرفشار سبیری را عامل برخی یخنده‌ها و تداوم ریزش‌های هوای سرد بر روی ایران می‌دانند. لشکری و یارمرادی (۱۳۹۳)، در پژوهش خود با عنوان تحلیل همدیدی موقعیت استقرار پرفشار سبیری و مسیرهای ورود آن به کشور در فصل سرد، با استفاده از نقشه‌های متوسط ماهانه فشار تراز دریا طی دوره آماری ۱۱ ساله (۲۰۱۱-۲۰۰۰)، به شناسایی هسته مرکزی، محور گسترش و مسیر ورود آن به کشور پرداخته است. از جمله مطالعات اخیر در زمینه پرفشار سبیری می‌توان به پژوهش‌هایی چون فتح نیا و همکاران (۱۳۹۷)، میزان گسترش سامانه پرفشار سبیری و اثر آن بر عناصر اقلیمی دما و بارش بر روی ایران بررسی شده است. ژاؤ و همکاران (۲۰۱۸) تأثیر تغییر اقلیم بر پرفشار سبیری و آلودگی هوای دوره زمستانه را در دو دهه گذشته چین ارزیابی کرده‌اند. فهادریاض و همکاران (۲۰۱۹)، تحت عنوان تأثیر پرفشار سبیری و کنترل از راه دور بر بارش‌های زمستانه عربستان سعودی، به موقعیت جغرافیایی مراکز این سامانه و جابجایی آن‌ها می‌پردازد و ارتباط آن را با بارش‌های زمستانه عربستان تعیین می‌کند.

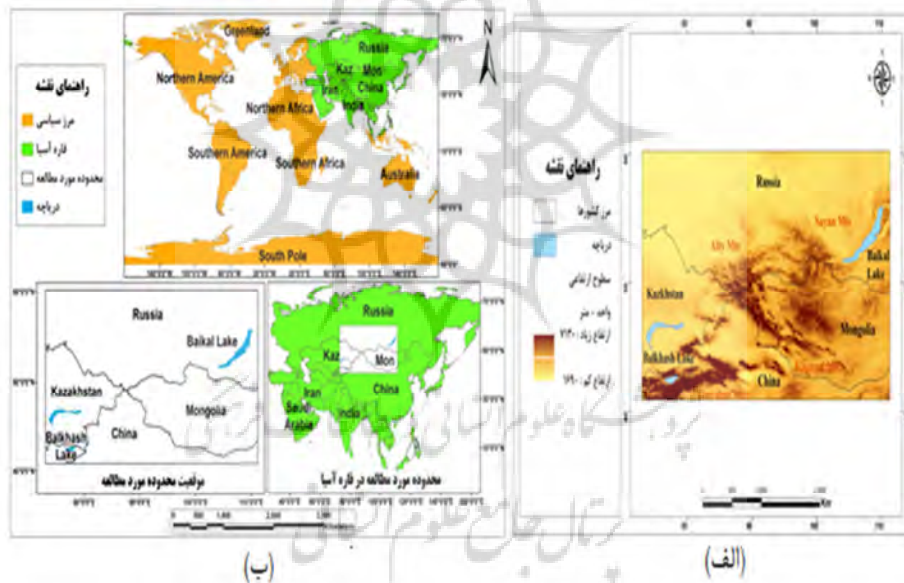
همان طور که ملاحظه شد، با وجود این که تحقیقات بسیار مفید و جامعی در زمینه ویژگی‌های همدیدی و آماری پرفشار سبیری انجام شده است، در هیچ یک از تحقیقات انجام شده به ساختار پرفشار و علت استقرار هسته مرکزی سامانه پرفشار سبیری در بین دریاچه‌های بایکال و بالخاش توجه کافی صورت نگرفته است. از این‌رو در این پژوهش سعی می‌شود به علت استقرار هسته مرکزی پرفشار سبیری در این موقعیت جغرافیایی توجه شود.

داده‌ها و روش‌ها

منطقه موردمطالعه، به لحاظ موقعیت نسبی در شرق آسیای میانه و به لحاظ موقعیت ریاضی بین مدارهای جغرافیایی ۴۰-۶۰ درجه عرض شمالی و ۷۰-۱۱۰ درجه طول شرقی از نصف‌النهار گرینویچ قرارگرفته است. به این ترتیب سرزمین پژوهش از شمال، کشور روسیه، از غرب کشور قزاقستان، از جنوب، کشور چین و از شرق و جنوب‌شرق، کشور مغولستان در بر می‌گیرد (شکل ۱ا). همان‌طور که دیده می‌شود دریاچه بایکال در شرق منطقه مطالعاتی (واقع در کشور روسیه جنوب صحراهای سبیری) و دریاچه بالخاش در غرب و جنوب‌غرب منطقه (واقع در کشور قزاقستان) قرار دارد. همان‌طور که در شکل (الف) مشاهده می‌شود، منطقه موردمطالعه دارای توپوگرافی متنوعی از کوه‌های پراکنده با قلل نسبتاً مرتفع و نامنظم، دشت‌های پایکوهی و دریاچه‌های پست می‌باشد. با توجه به اینکه پدیده توپوگرافی در آرایش و تکوین پرفشار و هسته آن بسیار مؤثر بوده است. در ادامه به بررسی ارتفاعات تاثیرگذار منطقه

پرداخته شده است. مجموعه ارتفاعات بهم پیوسته با امتداد شمال غربی - جنوب شرقی (ارتفاعات آلتای) به طول ۲۰۰۰ کیلومتر از دشت سیری غربی آغاز شده و به بیابان گبی ختم می شود. متوسط ارتفاع در این مجموعه به ۴۵۰۰ متر می رسد (بلومدین و همکاران، ۲۰۱۶). در مقابل ارتفاعاتی به طول ۱۵۰۰ کیلومتر به موازات ارتفاعات آلتای در محدوده غربی دریاچه بایکال، مجموعه ارتفاعات سایان را تشکیل می دهد که مرتفع ترین نقطه در این مجموعه به ۳۴۹۱ متر می رسد (کنستانتنیووا و همکاران، ۱۹۹۴). ارتفاعات خانگای نیز به تبعیت از کوههای آلتای (با امتداد شمال غربی - جنوب شرقی) واقع در مرکز کشور مغولستان به ۷۰۰ کیلومتر می رسد. از مرتفع ترین رشته کوههای واقع در آسیای مرکزی، ارتفاعات تیان شان می باشد (فرینگتون، ۲۰۰۵) که به تبعیت از فلات تبت حاصل برخورد دو صفحه هی هند و اوراسیا است. مرتفع ترین قله در این مجموعه، جنگیش چوکوسو به بلندای ۷۴۳۹ متر از سطح دریا و خانتنگری به بلندای ۷۰۱۰ متر در مرتبه بعدی قرار می گیرد (گوربونو، ۱۹۹۳).

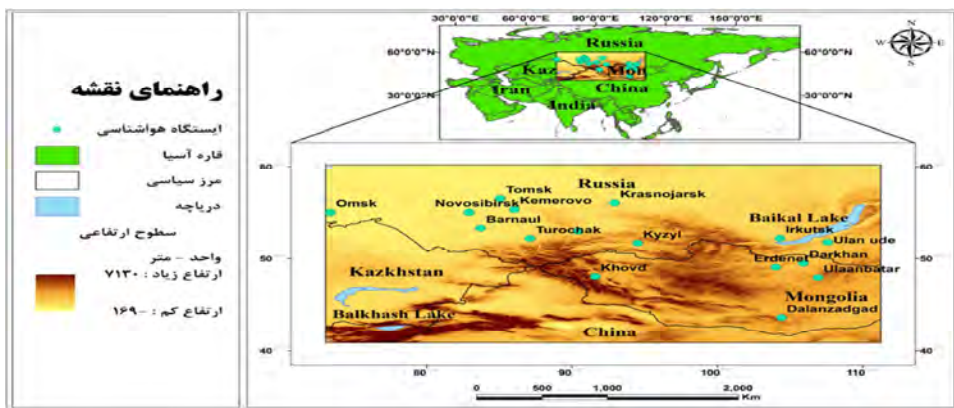
به طور کلی ارتفاعات نامبرده مابین دریاچه های بایکال و بالخاش واقع شده اند و مساحتی حدود ۵۶۸۴۵۵۵ کیلومتر مربع را در بر می گیرد.



شکل ۱: (الف) توپوگرافی منطقه مورد مطالعه ، ب) موقعیت منطقه مورد مطالعه در جهان و قاره آسیا

با توجه به هدف تحقیق که شناسایی مکان جغرافیایی تکوین و استقرار هسته اولیه این پرفشار در دوره سرد سال می باشد، ابتدا تعداد ۱۶ ایستگاه در محدوده ای بین دریاچه بایکال و بالخاش انتخاب شد. سپس پایه زمانی مشترک برای تمامی ایستگاهها تعیین گردید. همان طور که شکل (۲) نشان می دهد دریاچه بایکال در کشور روسیه و دریاچه بالخاش در کشور قرقستان واقع شده است. ایستگاههای انتخابی منطبق با محدوده ای است که سامانه پرفشار سیری بر اعمدتاً در آن محدوده شکل می گیرد. هدف از انتخاب این ایستگاهها استفاده از داده های دمایی آن ها برای تحلیل ماهیت حرارتی سامانه و تفکیک سامانه های مشکوک به دینامیکی و یا ترکیبی از سامانه های دمایی و دینامیکی است.

شکل ۲ پرداخته شده ایستگاه های انتخابی را نشان می دهد.



شکل ۲: پراکندگی جغرافیایی ایستگاه‌ها در محدوده دریاچه‌های بایکال و بالخاش

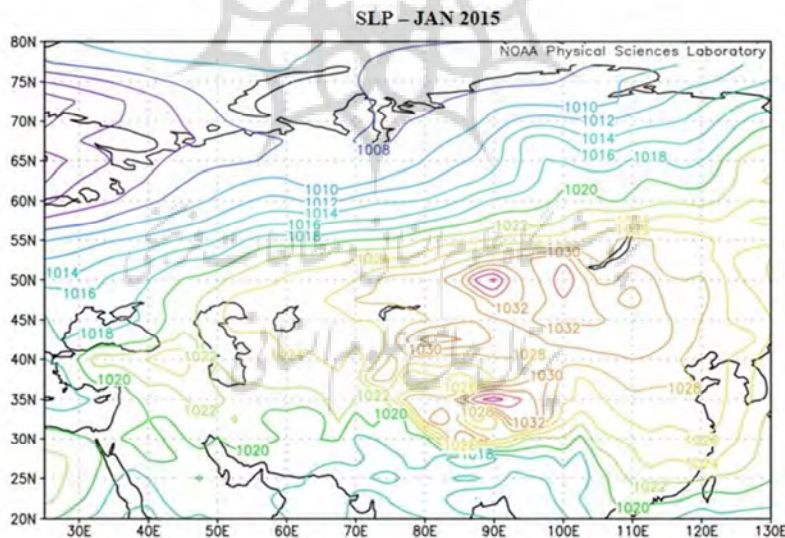
جدول (۱) مشخصات ایستگاه‌ها را بین دو دریاچه بایکال و بالخاش نشان می‌دهد. همان‌طور که جدول نشان می‌دهد ایستگاه‌ها بر اساس عرض جغرافیایی مرتب شده‌اند؛ ۱۱ مورد از آن‌ها در کشور روسیه و ۵ مورد دیگر در کشور مغولستان قرار دارند.

جدول ۱: مشخصات ایستگاه‌های انتخابی بین دریاچه‌های بایکال و بالخاش (www.worldweather.wmo.int)

ردیف	ایستگاه‌ها	عرض جغرافیایی (شمالي)	طول جغرافیایی (شرقی)
۱	Tomsk (Russia)	۵۶° ۳۰'	۸۵° ۰۰'
۲	Krasnojarsk (Russia)	۵۶° ۰۱'	۹۳° ۵۳'
۳	Kemerovo (Russia)	۵۵° ۲۰'	۸۶° ۳'
۴	Omsk (Russia)	۵۵° ۰۰'	۷۳° ۲۱'
۵	Novosibirsk (Russia)	۵۵° ۰۰'	۸۲° ۵۶'
۶	Barnaul (Russia)	۵۳° ۲۱'	۸۳° ۴۶'
۷	Hakasskaja (Russia)	۵۳° ۰۲'	۸۲° ۵۶'
۸	Turochak (Russia)	۵۲° ۱۴'	۸۷° ۰۷'
۹	Irkutsk (Russia)	۵۲° ۱۷'	۱۰۴° ۱۸'
۱۰	Ulan Ude (Russia)	۵۱° ۴۹'	۱۰۷° ۳۶'
۱۱	Kyzyl (Russia)	۵۱° ۴۳'	۹۴° ۲۷'
۱۲	Darkhan (Mongolia)	۴۹° ۲۸'	۱۰۵° ۵۷'
۱۳	Erdenet (Mongolia)	۴۹° ۰۱'	۱۰۴° ۰۲'
۱۴	Khovd (Mongolia)	۴۸° ۰۰'	۹۱° ۳۸'
۱۵	Ulaan Batar (Mongolia)	۴۷° ۵۵'	۱۰۶° ۵۵'
۱۶	Dalanzadgad (Mongolia)	۴۳° ۳۴'	۱۰۴° ۲۵'

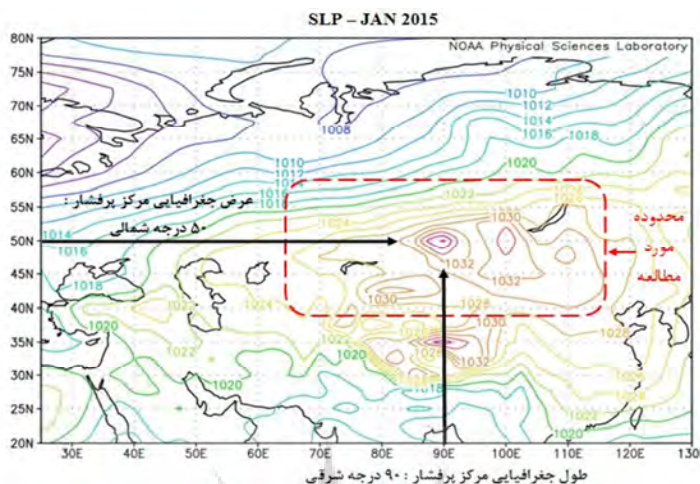
با توجه به ویژگی‌های فیزیکی و همیدیتی سامانه پرفشار سبیری عمدۀ فعالیت‌های این سامانه به دوره سرد سال متتمرکز می‌باشد و در سایر ماه‌ها یا فعالیت مؤثری نداشته یا اثر قابل توجهی بر اقلیم ایران ندارد در این تحقیق، از داده‌های مربوط به داده‌های دمایی ماه‌های اکتبر، نوامبر، دسامبر، زانویه، فوریه و مارس جهت بررسی میزان انطباق

هسته‌های سرمایی با هسته‌های فشاری استفاده شده است. بخش دوم این تحقیق اطمینان از انتخاب سامانه‌های پرفشار سیبری بوده است. فرض این تحقیق این بوده است که سامانه‌هایی برای مطالعه انتخاب گردد که ویژگی حرارتی داشته و سامانه‌هایی با ویژگی ترمودینامیکی یا دینامیکی از سامانه‌های حرارتی تفکیک گردد. برای این منظور از داده‌های باز تحلیل شده میانگین روزانه و ماهانه فشار تراز دریا (SLP)، ارتفاع ژئوپتانسیل (HGT) برای ترازهای ۷۰۰، ۸۵۰، ۹۹۴ هکتوپاسکال، دمای هوا در سطح زمین (Air) و در ترازهای نامبرده طی دوره آماری ۲۲ ساله ۲۰۱۵ – ۲۰۱۶ شناسایی و تفکیک سامانه‌های حرارتی از سامانه‌های دیگر و همین‌طور استخراج مکان استقرار هسته مرکزی پرفشار سیبری استفاده شده است. این داده‌ها با تفکیک افقی $2/5 \times 2/5$ درجه در دو راستای مداری و نصف‌النهاری برای دوره آماری از پایگاه مرکز ملی پیش‌بینی محیطی و مرکز ملی تحقیقات جوی آمریکا (NCEP / NCAR) به دست آمده است. جهت تعیین موقعیت هسته‌های مرکزی پرفشار سیبری ابتدا نقشه‌های فشار تراز دریا برای ۶ ماه سرد اکتبر، نوامبر، دسامبر، ژانویه، فوریه و مارس طی دوره آماری ۲۰۱۵ – ۹۹۴ به صورت متوسط روزانه و در ادامه در مقیاس متوسط ماهانه از پایگاه مرکز ملی پیش‌بینی محیطی و مرکز ملی تحقیقات جوی (NCEP/NCAR) تهیی گردید. برای تهیی نقشه‌های فشار تراز دریا، محدوده جغرافیایی $25^{\circ} - 130^{\circ}$ درجه طول شرقی و $80^{\circ} - 20^{\circ}$ درجه عرض شمالی در نظر گرفته شد. برای بالا بردن دقیقت در تعیین هسته مرکزی پرفشار فواصل منحنی‌های هم‌فشار تا ۲۰۰ پاسکال در محیط برنامه Grads ترسیم گردید. شکل ۳ نمونه‌ای از یک نقشه متوسط ماهانه فشار تراز دریا را نشان می‌دهد.



شکل ۳: نمونه نقشه متوسط ماهانه فشار تراز دریا، ماه ژانویه، سال ۲۰۱۵ میلادی

شکل (۴) روش تعیین هسته مرکزی پرفشار و تعیین بالاترین منحنی هم‌فشار درونی‌ترین بخش پرفشار را نمایش می‌دهد. به این ترتیب هسته مرکزی، مقدار عددی فشار مرکزی هر سامانه و طول و عرض هر هسته در تمام روزهای ۶ ماه سرد سال و سال‌های نمونه انتخابی تعیین گردید. جدول شماره ۲ نحوه انتخاب موقعیت جغرافیایی (طول و عرض جغرافیایی) و مقدار فشار مرکزی سامانه‌های پرفشار سیبری را نشان می‌دهد.



شکل ۴: نمونه نقشه تعیین موقعیت هسته مرکزی پرفشار، استخراج X و Y به عنوان طول و عرض جغرافیایی، ماه ژانویه سال ۲۰۱۵
جدول ۲: نمونه داده‌های موقعیت جغرافیایی و فشار مرکزی هسته‌های نقشه‌های فشار تراز دریا در نرم‌افزار اکسل، ماه ژانویه طی دوره آماری ۱۹۹۴–۲۰۱۵

فشار مرکزی	طول جغرافیایی (E)	عرض جغرافیایی (N)	سال
1038	88,8	49,8	1994
1044	89	49,6	1995
1044	88,3	50	1996
1034	90	48,5	1997
1044	89,3	50	1998
1038	89,6	49	1999
1044	89,9	49,9	2000
1038	89,7	49,9	2001
1036	89,9	49,3	2002
1036	90	48,8	2003
1040	89	50	2004
1044	89,7	50	2005
1038	89,4	50	2006
1042	89,5	49,4	2007
1046	88,8	50,2	2008
1040	89,9	49,7	2009
1042	99	52,6	2010
1050	89,1	50	2011
1046	89,5	50,3	2012
1036	90	50	2013
1038	89,8	49,8	2014
1038	88,9	49,6	2015
1040,7	89,8	49,8	میانگین

با توجه به این‌که تعداد نقشه‌های تهیه شده برای یک دوره آماری ۲۲ ساله و ۶ ماه سرد سال بسیار زیاد بوده است، جهت اختصار فقط نقشه هسته مرکزی ۵ دوره با فواصل ۵ ساله و ۳ ماه اصلی دوره سرد سال یعنی ماههای دسامبر، ژانویه و فوریه در این مقاله آمده است. در این نقشه‌ها دوایر سبز هسته اصلی پرفشار سیبری یا هسته‌ای که بالاترین فشار مرکزی را دارد و دوایر تیره هسته ثانوی یا هسته فشار مرکزی در مرتبه دوم است.

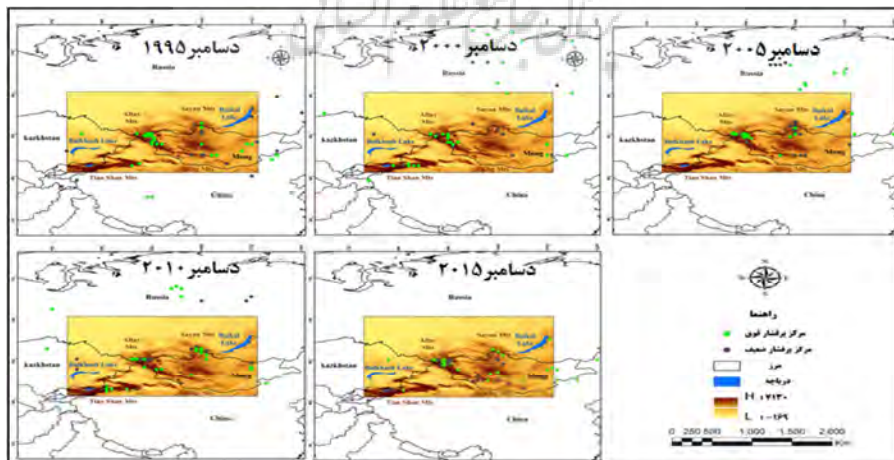
یافته‌های تحقیق

همان‌طور که بیان شد هدف اصلی این تحقیق تحلیل همیدیدی و مکان‌یابی محل استقرار هسته مرکزی پرفشار سیبری می‌باشد. همواره این سؤال در ذهن محققان اقلیم‌شناس بوده است که پرفشار سیبری در چه مکانی شکل می‌گیرد؟ الگوی کلی گسترش آن چگونه است؟ آیا عامل سرما دلیل اصلی تکوین این پرفشار می‌باشد؟ برای پاسخ به بخشی از سؤالات فوق این تحقیق شکل‌گرفته است. که برخی از آن‌ها در این مقاله و برخی دیگر در مقاله پاسخ داده خواهد شد. همان‌طور که بیان شد به دلیل تعدد زیاد نقشه‌های هسته پرفشار و محدودیت حجم مقاله هسته‌های پرفشار با فواصل زمانی ۵ ساله و فقط برای ماههای اصلی سرد یعنی ماههای دسامبر، ژانویه و فوریه آورده شده است.

تحلیل پراکنش هسته مرکزی پرفشار سیبری

در این بخش از تحلیل ابتدا پراکنش جغرافیایی هسته‌های پرفشار در تراز دریا بررسی شده و در ادامه علت این پراکنش تحلیل شده است. پراکنش ماهانه هسته مرکزی پرفشار در سه ماه اصلی دوره سرد به شرح زیر می‌باشد. با توجه به این که در بیشتر روزها دو هسته مشخص در محدوده مورد مطالعه یا اطراف آن با تفاوت اندکی از لحظه فشاری دیده می‌شد در نقشه‌های مورد بررسی دو هسته بارنگ‌های متفاوت دیده می‌شود.

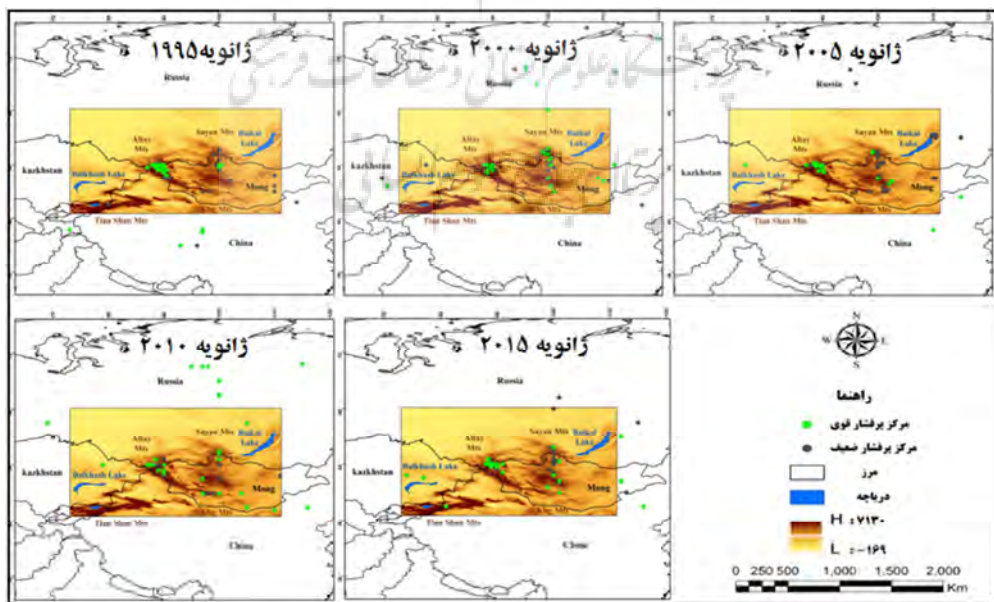
شکل (۵) پراکنش هسته مرکزی پرفشار سیبری را در ماه دسامبر نشان می‌دهد. نقاط روی نقشه موقعیت روزانه پرفشار در هر ماه می‌باشد. در این نقشه‌ها دوایر سبز هسته اصلیها هسته با فشار مرکزی بالاتر و دوایر تیره موقعیت هسته ثانوی را نشان می‌دهد.



شکل ۵: پراکنش هسته مرکزی پرفشار سیبری در ماه دسامبر سال‌های مورد مطالعه

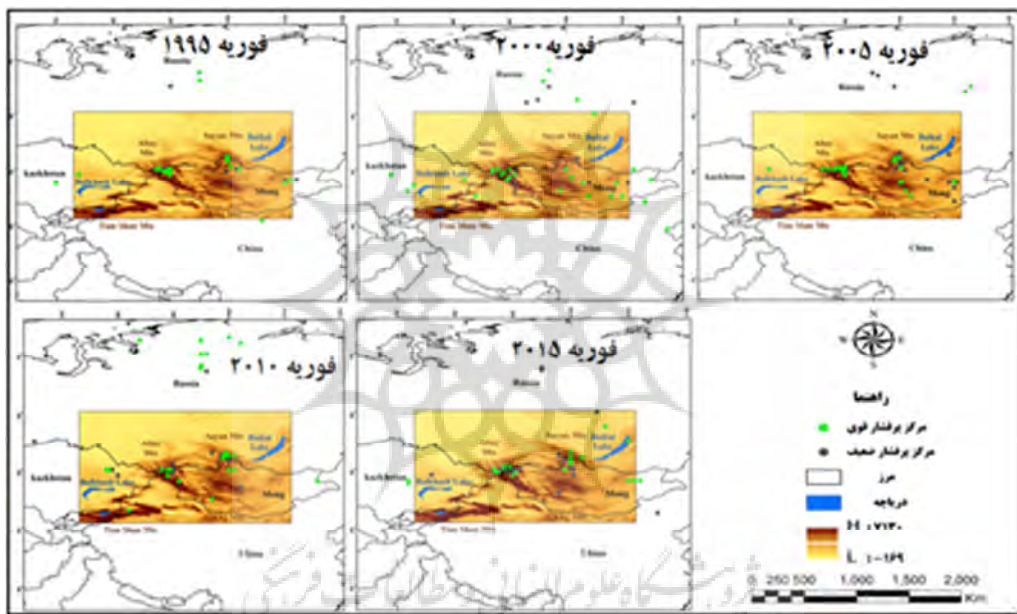
همان‌طور که دیده می‌شود در ماه دسامبر اکثر هسته‌های اصلی پرفشار بر روی رشته کوه‌های آلتای در شرق دریاچه بالخاش و هسته‌های ثانوی بر روی ارتفاعات سایان در غرب دریاچه بایکال قرار دارند. همان‌طور که دیده می‌شود بندرت هسته‌ها در بیرون از این دو منطقه جغرافیایی شکل‌گرفته‌اند. اصولاً هسته‌ها وقتی بر روی ارتفاعات آلتای قرار دارد متراکم‌تر بوده ولی وقتی بر روی ارتفاعات سایان قرار می‌گیرند به دلیل ناهمگونی این ارتفاعات هسته‌ها گاه پراکنده‌تر از هسته‌ها بر روی ارتفاعات آلتای می‌باشد. وقتی هسته‌ها بر روی این دو مکان قرار نداشته باشند بر روی ارتفاعات خانگای و تیان‌شان قرار دارند. در یک جمع‌بندی کلی می‌توان گفت هسته‌ها در بیش از ۸۵ درصد (تناسب بر اساس شمارش هسته‌ها) یا بر روی سه رشته‌کوه آلتای، سایان و خانگای قرار دارند. و سایر موقعیت‌ها بر روی ارتفاعات تیان‌شان یا به سمت شرق تمایل دارند. ولی در بیش از ۹۰ درصد موارد هسته‌ها در محدوده‌ای بین دریاچه‌های بایکال و بالخاش قرار دارند.

شکل (۶) موقعیت هسته‌های پرفشار را در تراز دریا برای ماه ژانویه نشان می‌دهد. همان‌طور که دیده می‌شود در ماه ژانویه هسته‌ها نسبت به ماه دسامبر از همگنی بیشتری برخوردارند. در این ماه بیش از ۹۰ درصد هسته‌ها یا بر روی ارتفاعات آلتای یا بر روی ارتفاعات سایان قرار دارند. تغییر مشخصی که در مرکز هسته‌ها در مقایسه با ماه قبل شده تعداد هسته‌ها بر روی ارتفاعات سایان نسبت به ماه قبل افزایش یافته است. بر روی هر دو منطقه مرکز هسته‌ها بر روی ارتفاعات می‌باشد. تفاوت در آرایش هسته‌ها بر روی ارتفاعات آلتای و سایان این است که هسته‌های بر روی آلتای عموماً متراکم بر روی هسته مرتفع رشته‌کوه است ولی بر روی سایان هسته‌های عموماً با امتداد شمالی - جنوبی و شکل خطی دارند. این آرایش در ماه قبلی نیز دیده می‌شود. در روزهای اندکی هسته‌ها از محدوده این دو رشته‌کوه خارج شده است. برخلاف ماه قبل به عرض‌های شمالی جابجا شده است، در صورتی که ماه قبل هسته‌ها به سمت شرق جابجا شده بودند.



شکل ۶: پراکنش هسته مرکزی پرفشار سیبری در ماه ژانویه سال‌های مورد مطالعه

شکل (۷) الگوی پراکنش هسته‌های پرفشار سیبری را در ماه فوریه نشان می‌دهد. الگوی کلی پراکنش هسته‌ها در این ماه نیز شباهت زیادی با الگوی ماههای قبل دارد. در فوریه نیز تمرکز اصلی هسته‌ها در درجه اول بر روی ارتفاعات آلتای قرار دارد. همچنان در این ماه نیز هسته در بخش مرتفع و مرکزی ارتفاعات آلتای متتمرکز شده است. تمرکز دوم هسته‌ها بر روی ارتفاعات سایان می‌باشد. ولی به دلیل پیچیدگی ارتفاعات سایان هسته‌ها بر روی تمام ارتفاعات پراکنده شده است. هسته‌هایی که بر روی این دو رشته‌کوه قرار ندارند، یا به سمت شرق کوههای سایان جابجا شده‌اند. یا کاملاً به سمت شمال و بخش شمالی صحرای سیبری منتقل شده‌اند. در سال‌های ۲۰۰۰ و ۲۰۱۰ هسته‌ها بر روی ارتفاعات آلتای متتمرکز هستند. ولی بر روی ارتفاعات سایان و شرق آن کاملاً پراکنده هستند. با یک دید کلی دیده می‌شود که قریب به اتفاق هسته‌ها در محدوده‌ای بین دریاچه‌های بایکال و بالخاش قرار دارند.



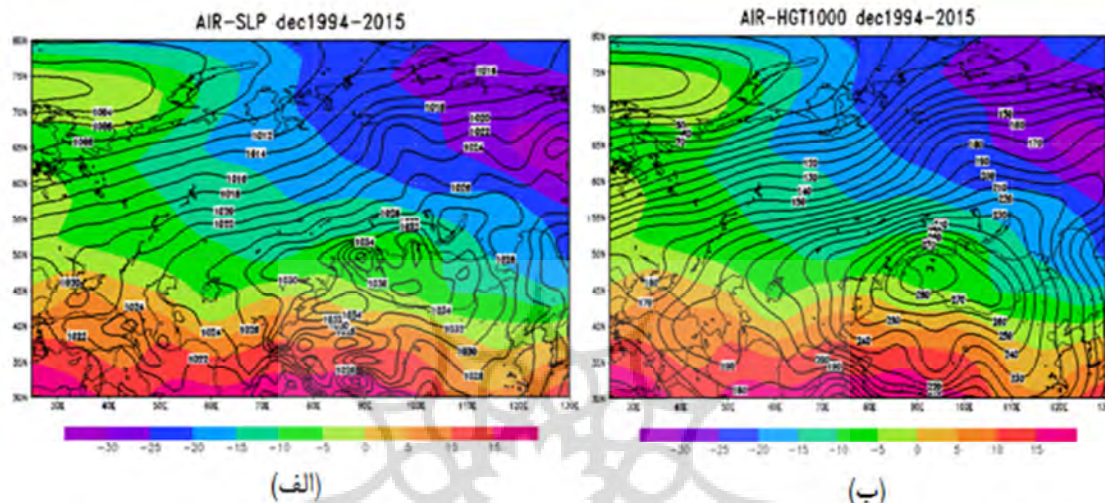
شکل ۷: پراکنش هسته مرکزی پرفشار سیبری در ماه فوریه سال‌های مورد مطالعه

تحلیل همدیدی و نیمرخ قائم پرفشار سیبری

در این بخش از تحقیق جابجایی قائم و الگوی غالب میدان فشار پرفشار سیبری مورد توجه بوده است. با توجه به این که هدف این تحقیق بررسی ویژگی‌های فیزیکی و ویژگی همدیدی ویژگی همدیدی پرفشار سیبری بوده است. در انتخاب نمونه‌ها ابتدا تلاش شده است سامانه‌هایی برای مطالعه انتخاب شود که از حرارتی بودن سامانه اطمینان حاصل شده است. در این بخش الگوی متوسط ۲۲ ساله حاکم در منطقه سیبری و شمال تبت از ترازهای دریا تا ۸۵۰ م.پ (لایه زیرین وردسپهر) تحلیل شده است که نشان می‌دهد چه انطباقی بین الگوی درازمدت با الگوهای روزانه دیده می‌شود. الگوی متوسط حاکم در سه ماه سرد سال در لایه زیرین وردسپهر به صورت زیر بوده است.

شکل (۸) الگوهای فشاری و پربندی درازمدت ماه دسامبر را نشان می‌دهد. در تراز دریا (نقشه فشار تبدیل شده به تراز دریا) نشان می‌دهد که هسته اصلی پرفشار با هم‌فشار ۱۰۴۰ م.پ بر روی ارتفاعات آلتای قرار دارد. این پدیده

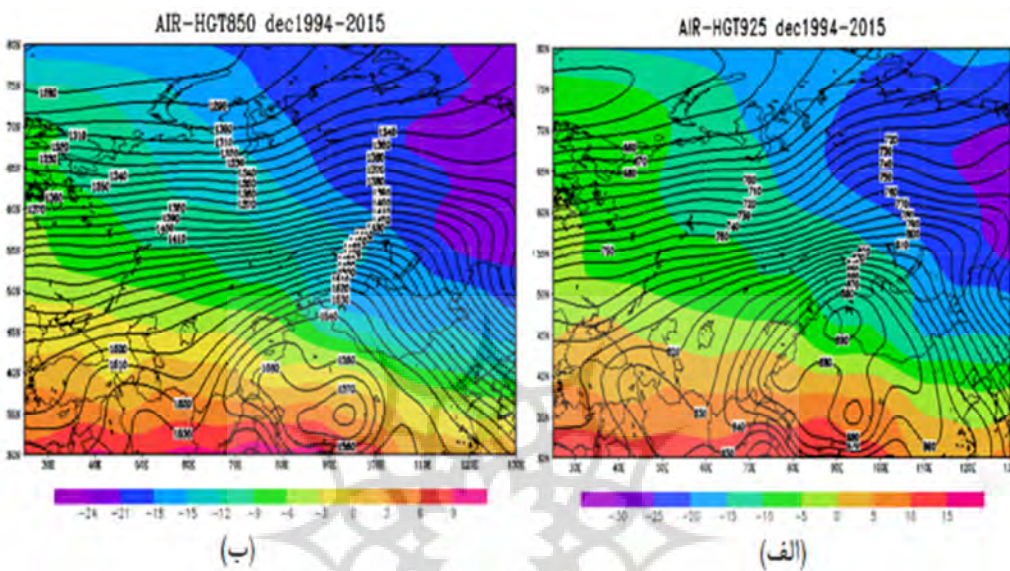
بیانگر آن است که تکوین و استقرار هسته مرکزی پرفشار سیبری بر روی این ارتفاعات یک پدیده همدیدی متداوم و قابل تکرار است. چرا که نقشه استخراج شده از داده‌های میانگین ۲۲ ساله برای ماه دسامبر حاصل شده است. بنابراین الگوی فوق بیانگر تکرار فراوان این الگو در روزهای متوالی می‌باشد.



شکل ۸: (الف) الگوی میانگین فشار تراز دریا (منحنی‌های سیاه بر حسب هکتوپاسکال)، دما (منحنی‌های رنگی بر حسب سانتی گراد) درازمدت ماه دسامبر ۱۹۹۴ – ۲۰۱۵ (ب) الگوی میانگین ارتفاع ژئوتانسیل تراز ۱۰۰۰.پ.ب (منحنی‌های دما (منحنی‌های رنگی بر حسب سانتی گراد) درازمدت ماه دسامبر ۱۹۹۴ – ۲۰۱۵

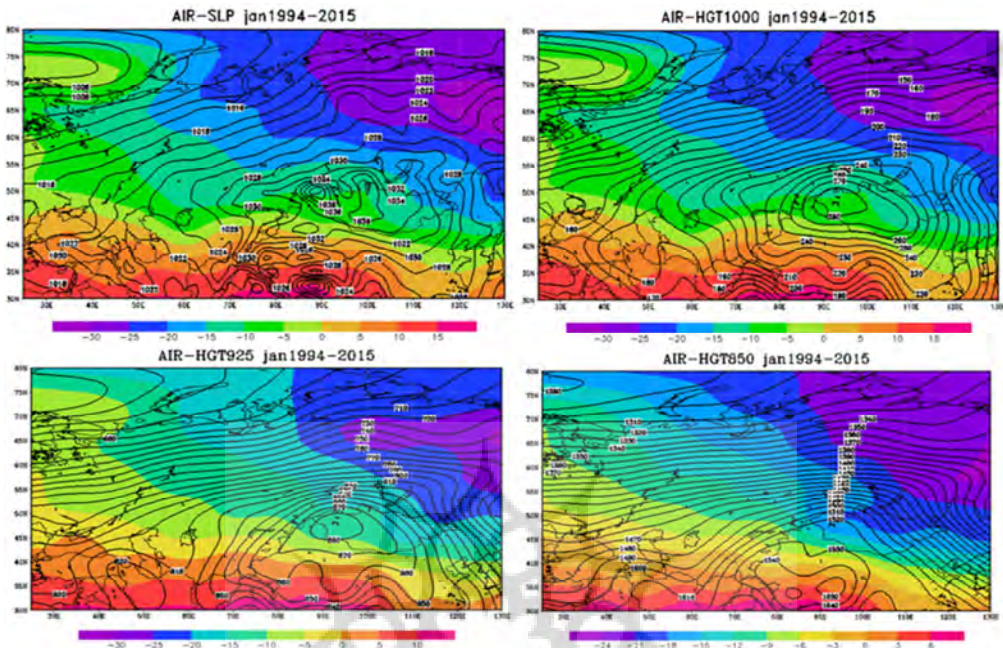
همان‌طور که دیده می‌شود هسته دوم بر روی نقشه تراز دریا باز هم بر روی ارتفاعات سایان قرار دارد. فشار مرکزی متوسط طولانی‌مدت با فشار مرکزی 1036 hPa حدود 4.5°C کمتر از هسته اصلی مستقر بر روی ارتفاعات آلتای می‌باشد. درنتیجه استقرار هسته دوم بر روی این ارتفاعات با یافته‌های برسی روزانه که در بخش قبل دیده شد انتطبق دارد. بنابراین می‌توان نتیجه گرفت پرفشار سیبری در دوره سرد سال عموماً دو هسته‌ای تشکیل می‌شود. در تراز 1000 hPa الگو قدری متفاوت شده و هسته پرفشار فقط بر روی ارتفاعات آلتای تشکیل شده است. هسته دومی در این محدوده جغرافیایی تشکیل نشده است. بنابراین می‌توان نتیجه گرفت هسته‌های مستقر بر روی کوه‌های آلتای در مرز کشورهای مغولستان، روسیه و چین از قوام و پایداری بیشتری برخوردار است. در تراز 925 hPa نیز الگوی حاکم شبهایت کاملی به الگوی تراز 1000 hPa دارد. همچنان پرفشار غالب بر همه محدوده سیبری و شمال تبت حاکمیت دارد. تنها تفاوت جزئی ایجادشده در این تراز ظهرور یک هسته فرعی بر روی فلات تبت می‌باشد. در تراز 850 hPa الگوی کلی کاملاً تغییر پیداکرده و همان‌طور که دیده می‌شود هسته پرفشار کاملاً به سمت جنوب منتقل شده و هسته اصلی و با قوام بر روی فلات تبت استقرار پیدا می‌کند. درصورتی که بر روی ارتفاعات آلتای هیچ پدیده مستقلی دیده نمی‌شود. به عبارت دیگر در ارتفاع 1500 متر و بالاتر یک پدیده گستردگی و همگن همانند فلات گستردگی و همگن و مرتفع مانند تبت مشاهده نمی‌شود. درنتیجه چون رشته کوه‌های آلتای، سایان و سایر ارتفاعات از ارتفاع 1500 متری پهنه محدودتری را به خود اختصاص می‌دهند، نتوانسته‌اند پهنه هوای سرد گستردگی را برای

تکوین یک هسته گسترده و با قوام فراهم کنند. در صورتی که فلات تبت بدلیل گسترگی خود حتی از ارتفاع ۱۵۰۰ متر و بالاتر توانسته است، پهنه سرمایی گسترده برای تکوین یک پرفشار دمایی فراهم کند.



شکل ۹: (الف) الگوی میانگین ارتفاع ژوپیتانسیل ۹۲۵ و (ب) ۸۵۰ ه.پ (منحنی های سیاه) و همدمای بر حسب درجه سانتی گراد (منحنی های رنگی) درازمدت ماه دسامبر ۱۹۹۴-۲۰۱۵.

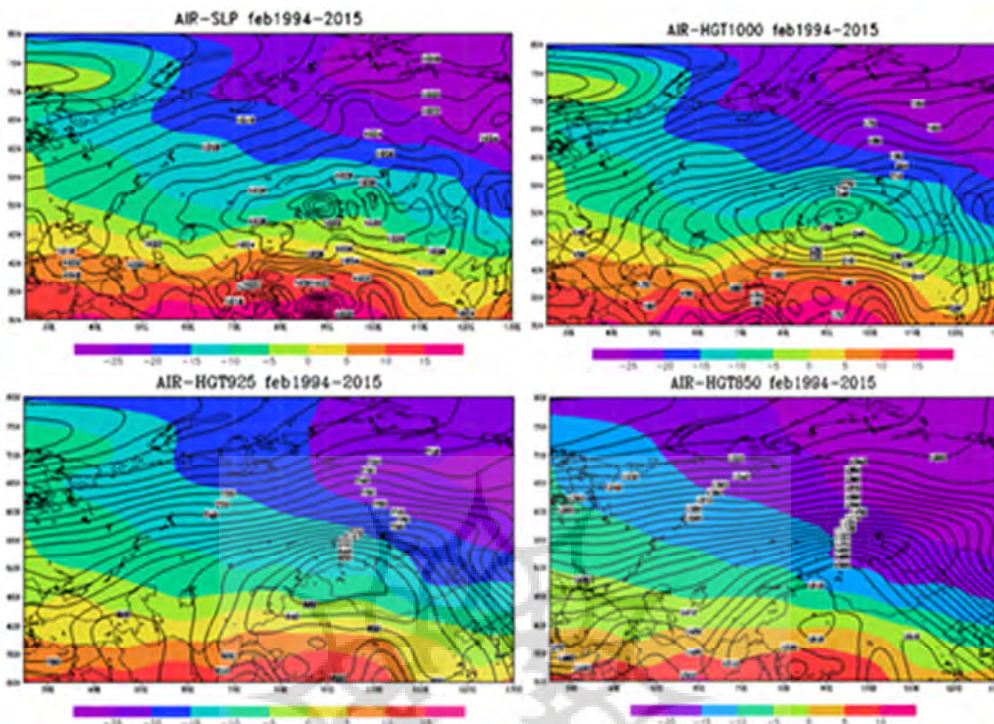
شکل (۱۰) الگوی طولانیمدت ترازهای مختلف جو را در ماه زانویه به عنوان سردترین ماه منطقه نشان می‌دهد. همان‌طور که دیده می‌شود در این ماه نیز هسته پرفشار قوی با ۱۰۴۰ ه.پ بر روی ارتفاعات آلتای در مرز مغولستان و روسیه قرار دارد. هسته دوم با ۴ ه.پ کمتر بر روی ارتفاعات سایان در کشور مغولستان قرار دارد. پدیده جالب این است که همانند پراکنش هسته‌ها که بر روی کوههای آلتای متمرکز و متراکم بودند. در نقشه‌های همیدی نیز الگوی همگن و متمرکز دارند ولی بر روی ارتفاعات آلتای الگوی پرفشار گسترگی و کشیدگی شمالی - جنوبی دارد.



شکل ۱۰: الگوی میانگین فشار تراز دریا و ارتفاع ژئوپتانسیل ۱۰۰۰، ۹۲۵ و ۸۵۰ و ۵۰۵.پ (منحنی های سیاه) و همدمها (بر حسب درجه سانتی گراد (منحنی های رنگی) درازمدت ماه زانویه ۱۹۹۴-۲۰۱۵.

در تراز ۱۰۰۰.پ همانند ماه قبل هسته های پرفشار سایر مکان ها ظاهر چندان ندارند. ولی هسته پرفشار روی ارتفاعات آلتای کاملاً مشهود است و به عنوان تنها سامانه منسجم بر روی نقشه ظاهر پیدا کرده است. بر روی نقشه تراز ۹۲۵.پ نیز پدیده غالب پرفشار سیبری بر روی ارتفاعات آلتای مغولستان می باشد. ولی همان طور که دیده می شود در تراز ۸۵۰.پ همانند ماه قبل هسته پرفشار کاملاً به جنوب منتقل شده و بر روی فلات تبت استقرار دارد. در صورتی که پدیده منسجم خاصی بر روی ارتفاعات آلتای به چشم نمی خورد.

شکل شماره (۱۱) الگوی همدید طولانی مدت ترازهای مختلف جوی را در ماه فوریه نشان می دهد. در این ماه نیز هسته پرفشار اصلی با هم فشار ۱۰۳۶.پ بر روی ارتفاعات آلتای استقرار دارد. بنابراین مقدار متوسط فشار در این ماه نسبت به دو ماه قبل حدود ۴.پ کاهش نشان می دهد. هسته دوم نیز با هم فشار ۱۰۳۴.پ بر روی ارتفاعات سایان قرار دارد.



شکل ۱۱: الگوی میانگین فشار تراز دریا و ارتفاع ژئوتانسیل ۱۰۰۰، ۹۲۵ و ۸۵۰ ه.پ (منحنی های سیاه) و همدم (بر حسب درجه سانتی گراد (منحنی های رنگی) درازمدت ماه دسامبر ۱۹۹۴ – ۲۰۱۵)

در این ماه نیز الگوی سامانه مستقر بر روی ارتفاعات آلتای متراکم و با هسته کوچک ولی سامانه مستقر بر روی ارتفاعات سایان گسترده و امتدادی شمالی- جنوبی دارد. در ترازهای ۱۰۰۰ و ۹۲۵ ه.پ هسته پرفشار روی ارتفاعات سایان در درون هسته پرفشار آلتای ادغام شده و فقط یک سامانه قویتر و گسترده‌تر بر روی ارتفاعات آلتای شکل گرفته است. در تراز ۹۲۵ ه.پ هسته پرفشاری بر روی فلات تبت شکل گرفته است. در تراز ۸۵۰ ه.پ همانند دو ماه قبل هسته‌های پرفشاری روی ارتفاعات آلتای و سایان ناپدید شده ولی هسته قوی و منسجمی بر روی فلات تبت ظاهر شده است.

نتیجه‌گیری

سامانه بزرگ مقیاس و سیارهای پرفشار سیبری از سامانه‌هایی است که بخش عظیمی از آسیا و اروپا را تحت تأثیر ویژگی‌های جوی خود قرار می‌دهد. کشور ایران از جمله کشورهای جنوب‌غرب آسیا می‌باشد که هر بخشی از آن به گونه‌ای از شرایط جوی آن متأثر می‌شود. اولین تجسم ذهنی از پرفشار سیبری برای اقلیم‌شناسان ایران سرما و کاهش شدید دما در بخش‌های مختلف کشور می‌باشد. البته در شرایط همدیدی مختلف می‌تواند اثرات متفاوتی ایجاد نماید. به عنوان مثال با گسترش جنوب‌سوی این پرفشار و انتقال زبانه‌های آن بر روی دریاهای گرم جنوبی ایران علاوه بر تشدید شیوه حرارتی مناسب در فرارفت رطوبتی به درون سامانه‌های بارشی ورودی بر روی ایران مؤثر باشد (لشکری ۱۳۷۵). در عین حال سرماهای زودرس و دیررس عموماً با گسترش زودهنگام یا دیرهنگام زبانه‌های پرفشار

سیبری در ارتباط است (محمودی و همکاران، ۱۳۹۵؛ لشکری و همکاران، ۱۳۹۳؛ کریمی و همکاران، ۱۳۹۱). با وجود اینکه در خصوص پرفشار سیبری تحقیقات فراوانی انجام شده است، همان‌طور که بیان شد این تحقیق در پاسخ به این سؤال مهم انجام شده است، چرا هسته مرکزی پرفشار سیبری در محدوده‌ای بین دریاچه‌های بایکال و بالخاش تکوین پیدا می‌کند؟ چه ویژگی از این منطقه در تشکیل و تکوین پرفشار نقش اساسی دارد؟ نیمرخ قائم این پرفشار در منطقه تکوین چگونه است؟

نتایج این تحقیق نشان داده که در بیش از ۷۶ درصد از روزهای دوره سه ماهه سرد سال (دسامبر تا فوریه) هسته مرکزی پرفشار سیبری در محدوده‌ای بین دریاچه‌های بایکال و بالخاش تشکیل و تکوین پیدا می‌کند. در تحلیل نقشه‌های همدیدی طولانی‌مدت و نقشه‌های روزانه ملاحظه شد که هسته دمایی بسیار سرد عموماً در شمال شرق دشت سیبری قرار دارد. درحالی که هسته مرکزی پرفشار در محدوده‌ای خارج از این منطقه و دو رشته‌کوه آلتای در مرز کشورهای روسیه و مغولستان و رشته‌کوه‌های سایان در کشور مغولستان قرار می‌گیرد. بررسی هسته‌های مرکزی پرفشار در سه ماه سرد و در یک دوره آماری ۲۲ ساله نشان می‌دهد، اولین مکان برای تکوین و استقرار هسته مرکزی پرفشار در بخش مرکزی ارتفاعات آلتای می‌باشد. این رشته‌کوه با امتدادی شمال‌غربی - جنوب‌شرقی یک سد کوهستانی مهم است که به دلیل دریافت رطوبت سامانه‌های انتقالی از سمت غرب و شمال‌غرب را دریافت کرده و دارای پوشش برفی دائمی در این دوره از سال می‌باشد. در عین حال بخش مرکزی این ارتفاعات، بلندای ۴۵۰۰ متری دارد. مجموع این عوامل سبب شده است این ارتفاعات مکان مناسبی برای تکوین یک سامانه حرارتی سرد و قوی در دوره سرد سال باشد. مکان مناسب دوم برای شکل‌گیری سامانه حرارتی پرفشار در این منطقه مجموعه ارتفاعات سایان است. همان‌طور که ملاحظه شد این ارتفاعات از همگنی و یکپارچگی کوه‌های آلتای برخوردار نیست. بلکه به صورت یک مجموعه گستردۀ از مرکز مغولستان شروع شده تا روسیه امتداد می‌یابد. این مجموعه کوهستان از لحاظ تعداد هسته‌های پرفشار تکوین یافته در مرتبه دوم قرار دارد. الگوی هسته‌های این مکان بر عکس هسته‌های کوه‌های آلتای که در محدوده مرکزی ارتفاعات متتمرکز هستند. در کوه‌های سایان به صورت نواری شمالی - جنوبی قرار می‌گیرند. مسئله قابل توجه دیگر در بررسی سامانه پرفشار در این دوره سرد این است که عموماً پرفشار سیبری به صورت دو هسته‌ای تشکیل می‌شود که در اکثر موارد هسته اصلی و قوی‌تر بر روی کوه‌های آلتای قرار می‌گیرد. از بررسی پراکنش هسته‌ها و نقشه‌های هم‌دما و داده‌های ایستگاهی نشان می‌دهد باوجود اینکه سرما عامل بسیار مهمی در تکوین و گسترش پرفشار سیبری می‌باشد، اما عاملی اصلی در مکان‌گزینی هسته پرفشار سیبری نمی‌باشد. چون در آن صورت دمای هوا بر روی دشت‌های شمالی صحراي سیبری بسیار پایین‌تر از دمای هوا بر روی این ارتفاعات بوده است. نقشه‌های همدید نیز به خوبی هسته‌های سرد را در عرض‌های بالاتر نشان می‌دهد. بنابراین عامل توپوگرافی در مجموعه دو رشته‌کوه آلتای و سایان که محدوده‌ای بین ۱۰۲۰۰۰ کیلومترمربع، و از لحاظ گسترش طولی (غربی-شرقی) ۲۲۰۰ کیلومتر و گسترش عرضی (شمالی - جنوبی) ۹۵۰ کیلومتری را در برگرفته است، نقش تعیین‌کننده‌ای در شکل‌گیری هسته‌های پرفشار سیبری در این مکان جغرافیایی دارند.

بررسی نقشه‌های همدیدی طولانی‌مدت و روزانه ترازهای دریا تا ۸۵۰ ه.پ نشان داد که در تمام محدوده ترازهای دریا تا ۸۵۰ ه.پ هسته مرکزی پرفشار سیبری همچنان بر روی دو منطقه حاکمیت دارد. هسته اصلی عموماً بر روی

ارتفاعات آلتای قرار دارد. متوسط طولانی مدت آن ۱۰۴۰ ه.پ می‌باشد. ولی در نقشه‌های روزانه تا فشار ۱۰۶۵ ه.پ نیز دیده شده است. هسته دوم همچنان بر روی ارتفاعات سایان قرار می‌گیرد. عموماً فشار در هسته مرکزی این منطقه ۴ تا ۶ هکتوپاسکال کمتر از هسته روی ارتفاعات آلتای می‌باشد. همان‌طور که مشاهده شد عموماً پرفشار سیبری بر روی این منطقه دو هسته‌ای می‌باشد. هسته قوی تر بر روی ارتفاعات بلندتر آلتای و هسته دوم و ضعیف‌تر بر روی ارتفاعات کوتاه‌تر سایان قرار می‌گیرد. این پدیده خود دلیلی برای توپوگرافی در تکوین هسته اصلی پرفشارها در این منطقه است. از تراز ۸۵۰ ه.پ در تمام ماهها هسته پرفشار از روی این دو منطقه بر روی فلات تبت منتقل می‌شود. و بر روی این مجموعه ارتفاعات هسته پرفشاری دیده نمی‌شود. گاه پشته‌ای از سمت هسته مستقر بر روی این ارتفاعات کشیده شده است. این مسئله دلیل بر منشأ حرارتی پرفشار سیبری دارد. چراکه از ارتفاع ۱۵۰۰ به بالاتر پهنه سرزمینی بر روی ارتفاعات آلتای و سایان کم می‌شود. ولی زیر تراز ارتفاعی ۱۵۰۰ متر مساحت سرزمینی مجموع این دو رشته‌کوه به چندین هزار کیلومترمربع می‌رسد. در جمع‌بندی کلی می‌توان گفت پرفشار سیبری ماهیتی کاملاً حرارتی دارد و با توجه به موقعیت مکانی استقرار خود از دو ویژگی مهم برخوردار خواهد بود. فرارفت سرد بر روی تمام مناطقی که در مسیر عبور این سامانه یا گسترش زبانه این پرفشار می‌باشند. با توجه به موقعیت استقرار هسته مرکزی پرفشار انتظار می‌رود مناطق شمال‌شرق و شرق کشور ایران بیش از همه مناطق کشور در معرض سرماهای شدید و گاه ناگهانی این سامانه در طول دوره سرد سال و همچنین سرماهای زودهنگام پاییزه یا دیرهنگام بهاره باشند. نتایج تحقیقات (لشکری و یارمرادی، ۱۳۹۳) در مورد مسیرهای ورود این سامانه این پدیده را تایید می‌نماید. ویژگی دوم این سامانه خشکی مفرط این سامانه می‌باشد. هسته مرکزی این سامانه بر روی ارتفاعات پوشیده از برف رشته کوه‌هایی قرار دارد که بدلیل سرما و ظرفیت رطوبت‌پذیری پایین و فقدان منابع رطوبتی مناسب بسیار خشک می‌باشد. در نتیجه با گسترش زبانه این پرفشار بر روی منطقه شمال‌شرق و شرق کشور هوای سرد و خشکی را حاکم خواهد نمود که شرایط زیستی را برای ساکنان این منطقه از کشور دشوار و مخاطره‌آمیز نموده و سلامت آنها را تهدید خواهد نمود.

منابع

- ایران‌نژاد پرویز؛ احمدی‌گیوی فرنگ؛ محمدنژاد علیرضا (۱۳۸۸)، اثر بازهای نوسان سالانه کمربند پرفشار جنب حاره و پرفشار سیبری بر چرخندزایی مدیترانه و بارش ایران، فیزیک زمین و فضای دوره ۳۵، شماره ۴، صص ۱۱۱۵-۱۳۰.
- بلیغی مهدی (۱۳۷۵). ورود پرفشار سیبری به خراسان و تأثیر آن بر اقلیم منطقه، پایان‌نامه کارشناسی ارشد، گروه جغرافیای طبیعی دانشگاه تربیت معلم.
- تقی‌زاده حبیب (۱۳۶۶)، بررسی سیل پاییز ۱۳۶۵ از نظر هواشناسی، مجله رشد آموزش زمین‌شناسی، شماره ۶، صص ۵۱-۵۶.
- جعفریبور ابراهیم (۱۳۷۷)، اقلیم شناسی، چاپ هفتم، تهران: انتشارات دانشگاه تهران.
- جهانبخش سعید؛ کرمی فربنا (۱۳۷۸)، تحلیل سینوپتیکی تأثیر پرفشار سیبری بر بارش سواحل جنوبی دریای خزر، فصلنامه تحقیقات جغرافیایی، شماره ۴۶۷، صص ۱۳۰-۱۰۸.
- چوخارچی‌زاده مقدم محمدباقر (۱۳۷۶)، تحلیل سینوپتیکی اثر پرفشار سیبری بر دمای شمال شرق ایران، رساله دکتری، گروه جغرافیای طبیعی دانشگاه تهران.
- حلیمان امیرحسین؛ شبانکاری مهران (۱۳۹۱)، نقش پرفشار سیبری در پراکنش دمایی روزانه ایران. جغرافیا و برنامه ریزی محیطی، دوره ۲۳، شماره ۴، صص ۱۵۱-۱۶۶.

- شبانکاری مهران (۱۳۸۷)، بررسی اثر پر فشار سیبری بر روی دما و بارش ایران، رساله دکتری، گروه جغرافیای طبیعی دانشگاه تهران.
- عزیزی قاسم؛ اکبری طبیه؛ داوودی محمود؛ اکبری مهری (۱۳۸۹)، تحلیل همدیدی موج سرمای شدید دی ماه ۱۳۸۶ ایران، پژوهش‌های جغرافیای طبیعی، دوره ۷۰، شماره ۴۰، صص ۱-۱۹.
- علیجانی بهلول (۱۳۶۹)، چگونگی تشکیل فرابار سیبری و اثر آن بر اقلیم شرق ایران، تحقیقات جغرافیایی، دوره ۵، شماره ۲، صص ۲۵۱-۲۴۱.
- علیجانی بهلول؛ هژبرپور قاسم (۱۳۸۶)، تحلیل همدید یخ‌بندان‌های استان اردبیل، مجله جغرافیا و توسعه، دوره ۵، شماره ۱۰، صص ۸۹-۱۰۶.
- فتح نیا امان‌اله؛ رحیمی حمید؛ آب خربات شعیب (۱۳۹۷)، تعیین گسترش زمانی- مکانی پرفشار سیبری بر روی ایران و اثر آن بر تغییرات دما و بارش، نشریه علمی جغرافیا و برنامه‌ریزی، دوره ۲۲، شماره ۶۳، صص ۱۸۳-۲۰۲.
- کاویانی محمد رضا؛ مسعودیان سید ابوالفضل؛ شبانکاری مهران (۱۳۸۶)، شناسایی رفتار زمانی مکانی پرفشار سیبری در تراز دریا، تحقیقات جغرافیایی، دوره ۲۲، شماره ۴، صص ۴۸-۲۷.
- کریمی صادق؛ نگارش حسین؛ طاووسی تقی؛ علیجانی بهلول (۱۳۹۱)، تحلیل همدید امواج سرمای فراگیر ایران مورد: موج سرمای دی و بهمن ۱۳۸۳ استان چهارمحال و بختیاری، مجله جغرافیا و توسعه، دوره ۱۰، شماره ۲۲، صص ۵۵-۷۶.
- لشکری حسن (۱۳۸۷)، بررسی تحلیل سینوپتیکی موج سرمای فراگیر ۱۳۸۲ در ایران، پژوهش‌های جغرافیای طبیعی، دوره ۴۰، شماره ۶۶، صص ۱۸-۱.
- لشکری حسن (۱۳۷۵)، الگوی همدیدی بارش‌های شدید جنوب و جنوب‌غرب ایران، رساله دکتری، دانشگاه تربیت مدرس، دانشکده علوم انسانی، گروه جغرافیا.
- لشکری حسن؛ نقی‌زاده حبیبه؛ مرادی محمد؛ نجفی محمد سعید (۱۳۹۳). تحلیل همدید دمای پایه بارش برف در شمال غرب ایران.
- پژوهش‌های اقلیم شناسی، دوره ۱۳۹۳، شماره ۱۹، صص ۱۱-۲۲.
- لشکری حسن؛ یارمرادی زهرا (۱۳۹۳). تحلیل همدیدی موقعیت استقرار پرفشار سیبری و مسیرهای ورودی آن به کشور ایران در فصل سرد. پژوهش‌های جغرافیای طبیعی، دوره ۴۶، شماره ۲، صص ۱۹۹-۲۱۸.
- محمدی پیمان؛ خسروی محمد؛ مسعودیان سید ابوالفضل؛ علیجانی بهلول (۱۳۹۵)، میانگین گردش جوی منجر به یخ‌بندان‌های فراگیر در ایران . مطالعات جغرافیایی مناطق خشک، دوره ۶، شماره ۲۴، صص ۸۶-۱۰۳.
- موسوی بایگی محمد؛ اشرف بتول (۱۳۹۱)، مطالعه الگوهای سینوپتیکی منجر به خشکسالی‌های پاییزه و زمستانه در استان خراسان رضوی، نشریه پژوهش‌های حفاظت آب و خاک، دوره ۱۸، شماره ۴، صص ۱۶۷-۱۸۴.
- یوسفی حسن؛ عزیزی قاسم (۱۳۸۴)، زمانیابی ورود پرفشار سیبری به سواحل جنوبی دریای خزر، برنامه‌ریزی و آمایش فضای دوره ۹، شماره ۴، صص ۱۹۳-۲۱۳.
- Blomdin, R., Heyman, J., Stroeven, A. P., Hättestrand, C., Harbor, J. M., Gribenski, N., ... & Rudoy, A. N., (2016). Glacial geomorphology of the Altai and western sayan mountains, Central Asia. Journal of Maps, Vol 12, No1, pp123-136. <https://doi.org/10.1080/17445647.2014.992177>.
- CHAN, J. C., & LI, C., (2004). The East Asia winter monsoon. In East Asian Monsoon, pp. 54-106.https://doi.org/10.1142/9789812701411_0002.
- Cohen, J., Saito, K., & Entekhabi, D. (2001). The role of the Siberian high in Northern Hemisphere climate variability. Geophysical Research Letters, Vol 28, No2, pp.299-302. <https://doi.org/10.1029/2000GL011927>.
- Ding, Y., 1990, Build-up, Air Mass Transformation and propagation of Siberian High and Its Relation to Cold Surge in East Asia. J. Meteoro. Atmos. Phys, Volume 44, pp 281-292.
- Ding, Y., & Krishnamurti, T. N. (1987). Heat budget of the Siberian high and the winter monsoon. Monthly Weather Review, Vol115, No10, pp 2428-2449. [https://doi.org/10.1175/1520-0493\(1987\)115<2428:HBOTSH>2.0.CO;2](https://doi.org/10.1175/1520-0493(1987)115<2428:HBOTSH>2.0.CO;2).
- Fahad Riaz, S. M., Iqbal, M. J., & Khan, F. (2019). Effect of Siberian high and remote forcings on winter precipitation in the Kingdom of Saudi Arabia. Journal of Water and Climate Change, pp1-14.<https://doi.org/10.2166/wcc.2019.026>.
- Farrington, J. D. (2005). A report on protected areas, biodiversity, and conservation in the Kyrgyzstan Tien Shan. Fulbright Fellow-Environmental Studies Kyrgyzstan, Former Soviet Central Asia2003-2004, pp13-18.
- Gong, D. Y., & Ho, C. H. (2002). The Siberian High and climate change over the middle to high latitude Asia. Theoretical and applied climatology, Vol 72, No1-2, pp 1-9. <https://doi.org/10.1007/s007040200008>.

- Gorbunov, A.P., (1993), Geocryology in Tianshan Mountain, PERMAFROST, Sixth International Conference. Proceedings. July 5-9, Beijing, China, 2, South China University of Technology Press, pp 1105–1107.
- Hasanean, H. M., Almazroui, M., Jones, P. D., & Alamoudi, A. A. (2013), Siberian high variability and its teleconnections with tropical circulations and surface air temperature over Saudi Arabia. Climate dynamics, Vol41, No7-8, pp 2003-2018. <https://doi:10.1007/s00382-012-1657-9>.
- Konstantinova, N. A., & Vasiljev, A. N. (1994), On the hepatic flora of Sayan Mountains (south Siberia). Arctoa, Nov3, pp 123-132<https://doi:10.15298/arctoa.03.07>
- Lingis, P., & Michaelides, S. C. (2009), Teleconnection patterns of the Siberian Anticyclone and precipitation over Cyprus. Atmospheric Research, Vol94, No4, pp663-674.<https://doi.org/10.1016/j.atmosres.2009.05.013>.
- Lydolph, P. E. (1977), Climates of the Soviet Union. Elsevier Scientific Publishing Company. <https://doi.org/10.2307/2495290>
- Takahashi, H. (1990). Migration of the cold air mass related to rain belt formation of the Chinese continent and atmospheric systems during the Baiu season (in Japanese). Geographical Review of Japan; Series A, Vol 64, pp10-24.https://doi.org/10.4157/grj1984a.64.10_697.
- Takaya, K., & Nakamura, H. (2005). Mechanisms of intraseasonal amplification of the cold Siberian high. Journal of the Atmospheric Sciences, Vol62, No12, pp4423-4440.<https://doi.org/10.1175/JAS3629.1>
- Zhang, Y. (1996). Climatology of east Asia winter monsoon and cold surges program for climate model diagnosis and intercomparison (PCMDI)No. 38.
- Zhao, S., Feng, T., Tie, X., Long, X., Li, G., Cao, J., ... & An, Z. (2018). Impact of climate change on Siberian High and wintertime air pollution in China in past two decades. Earth's Future, Vol6, No2, pp 118-133.<https://doi.org/10.1002/2017EF000682>



References

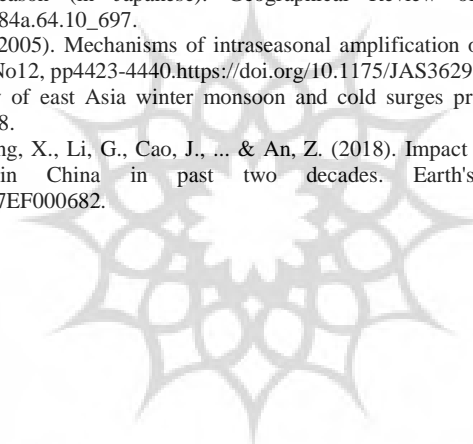
References (in Persian)

- Alijani B., (1990), How the formation of high-pressure Siberia and its effect on the climate of Eastern Iran, Geographical Research, Vol 5, No 2, pp. 251 - 241. [In Persian]
- Alijani B., Hazhbarpur Gh. (2006), Synoptic Analysis of Ardabil glaciers, Journal of Geography and Development, Vol. 5, No. 10, pp 89-106. [In Persian]
- Azizi Q., Akbari T., Davoodi M., Akbari M., (2010), Synoptic analysis of the severe cold wave in January Iran 2007, F. Natural Geography Research, No. 70, pp. 19 1. [In Persian]
- Azizi, G., Akbari, T., Davudi, M., Akbari, M. (2010). A Synoptic Analysis of January 2008 Sever Cold in Iran. Physical Geography Research Quarterly, Vol.v·, No.4·, pp. ۱-۱۴. [In Persian]
- Balighi, M., (1996), The High Pressure of Siberia to Khorasan and Its Impact on the Climate of the Region, M.Sc. Thesis, Department of Natural Geography, Tarbiat Moallem University. [In Persian]
- Chokhachizadeh Moghadam MB, (1997), Synoptic analysis of the effect of Siberian hypertension on the temperature in northeastern Iran, Ph.D. thesis, Department of Natural Geography, University of Tehran. [In Persian]
- Fathnia, A., rahimi, H., Abkharabat, S. (2018). Determine of Spatial-Temporal Spread of the Siberian High Pressure on Iran and its Effect on Precipitation and Temperature Changes. Geography and Planning, Vol22, No 63 pp183-202. [In Persian]
- Halabian, A., Shabankari, M. (2013). The role of Siberian high in the distribution of the daily minimum temperatures in Iran. Geography and Environmental Planning, Vol. ۲۲, No.۴, pp. ۱۵۱-۱۶۶. [In Persian]
- Irannejad, P., Mohammadnejad, A., Ahmadi Givi, F., (2010). Effects of the annual variations in the positions of the subtropical high-pressure belt and Siberian high on the Mediterranean cyclogenesis and precipitation in Iran. Journal of the Earth and Space Physics Vol. ۳۸, No. ۴, pp ۱۳۰-۱۴۰. [In Persian]
- Jafarpour A., (1998), Climatology, Edition 7. Tehran, University of Tehran Press. [In Persian]
- Jahanbakhsh S., Karami F., (1999), Synoptic analysis of the effect of Siberian hypertension on the precipitation of the southern shores of the Caspian Sea, Geographical Research Quarterly, Vol. 1, No. 467, pp. 130-108. [In Persian]
- Karimi, P., Negarash, H., Tavousi, T., and Alijani, B., (2012). Synoptic Analysis of Sweeping Cold Waves of Iran Case: Chahar Mahal & Bakhtiari, 21 Dec 2004-18 Feb 2005, Geography and Development Iranian Journal, Vol 10, No 22, pp. 55 76.[In Persian]
- Kaviani MR, Masoudian A., Shabankari M., (2007), Identification of Siberian high-pressure spatial-temporal behavior at sea level, Geographical Research, Vol 22, No 4, pp 48 27.[In Persian]
- Lashkari H (1996). the Synoptic pattern of heavy rainfall in south and southwest of Iran, Ph.D. thesis, Tarbiat Modares University, Faculty of Humanities, Department of Geography. [In Persian]
- Lashkari H (2008), Synoptic analysis of the pervasive cold wave of 2003 in Iran, Natural Geography Research, Vol 40, No 66, pp. 18-1. [In Persian]
- LashkariH., Yarmoradi Z. (2014). The Synoptic Analysis of Siberian High-Pressure Situation and its Paths of Entrance into Iran during Cold Season. Physical Geography Research Quarterly, Vol 46, No 2, pp 199-218.[In Persian]
- Lashkari, H., Naghizadeh, H., Moradi, M., and Najafi, MS, (2014), The synoptic dynamic analysis of the base temperature for snowfall in the down level of atmosphere in Northwest of Iran (1995 2008), Climatological Research, Volume 1393, Number 19, pp. 22 - 11. [In Persian]
- Mahmoudi P., Khosravi M., Masoudian SA, Alijani B., (2016), Mean atmospheric Circulation Leading to Pervasive Frost in Iran, Geographical Studies of Arid Areas, Volume 6, Number 24, pp. 86 103. [In Persian]
- Shabankari M., (2008), The study of the effect of high-pressure Siberia on temperature and precipitation in Iran, Ph.D. thesis, Department of Natural Geography, University of Tehran. [In Persian]
- Taghizadeh H., (1987), Investigation of autumn 1986 flood from the point of view of meteorology, Journal of Geological Education Development, No. 6, pp. 56 51. [In Persian]
- Yousefi H., Azizi Gh., (2005), Timing of the arrival of Siberian high pressure to the southern shores of the Caspian Sea, space planning and planning, Vol 9, No 4, pp. 193 213 [In Persian]

References (in English)

- Blomdin, R., Heyman, J., Stroeven, A. P., Hättestrand, C., Harbor, J. M., Gribenski, N., ... & Rudoy, A. N., (2016). Glacial geomorphology of the Altai and western sayan mountains, Central Asia. Journal of Maps, Vol 12, No1, pp123-136. <https://doi.org/10.1080/17445647.2014.992177>.
- CHAN, J. C., & LI, C., (2004). The East Asia winter monsoon. In East Asian Monsoon, pp. 54-106.https://doi.org/10.1142/9789812701411_0002.
- Cohen, J., Saito, K., & Entekhabi, D. (2001). The role of the Siberian high in Northern Hemisphere climate variability. Geophysical Research Letters, Vol 28, No2, pp.299-302. <https://doi.org/10.1029/2000GL011927>.
- Ding, Y., 1990, Build-up, Air Mass Transformation and propagation of Siberian High and Its Relation to Cold Surge in East Asia. J. Meteoro. Atmos. Phys, Volume 44, pp 281-292.

- Ding, Y., & Krishnamurti, T. N. (1987). Heat budget of the Siberian high and the winter monsoon. *Monthly Weather Review*, Vol115, No10, pp 2428-2449. [https://doi.org/10.1175/1520-0493\(1987\)115<2428:HBOTSH>2.0.CO;2](https://doi.org/10.1175/1520-0493(1987)115<2428:HBOTSH>2.0.CO;2).
- Fahad Riaz, S. M., Iqbal, M. J., & Khan, F. (2019). Effect of Siberian high and remote forcings on winter precipitation in the Kingdom of Saudi Arabia. *Journal of Water and Climate Change*, pp1-14.<https://doi.org/10.2166/wcc.2019.026>.
- Farrington, J. D. (2005). A report on protected areas, biodiversity, and conservation in the Kyrgyzstan Tien Shan. Fulbright Fellow-Environmental Studies Kyrgyzstan, Former Soviet Central Asia2003-2004, pp13-18.
- Gong, D. Y., & Ho, C. H. (2002). The Siberian High and climate change over the middle to high latitude Asia. *Theoretical and applied climatology*, Vol 72, No1-2, pp 1-9. <https://doi.org/10.1007/s007040200008>.
- Gorbunov, A.P., (1993), Geocryology in Tianshan Mountain, PERMAFROST, Sixth International Conference. Proceedings. July 5-9, Beijing, China, 2, South China University of Technology Press, pp 1105–1107.
- Hasanean, H. M., Almazroui, M., Jones, P. D., & Alamoudi, A. A. (2013), Siberian high variability and its teleconnections with tropical circulations and surface air temperature over Saudi Arabia. *Climate dynamics*, Vol41, No7-8, pp 2003-2018. <https://doi.org/10.1007/s00382-012-1657-9>.
- Konstantinova, N. A., & Vasiljev, A. N. (1994), On the hepatic flora of Sayan Mountains (south Siberia). *Arctoa*, Nov3, pp 123-132<https://doi.org/10.15298/arctoa.03.07>
- Lingis, P., & Michaelides, S. C. (2009), Teleconnection patterns of the Siberian Anticyclone and precipitation over Cyprus. *Atmospheric Research*, Vol94, No4, pp663-674.<https://doi.org/10.1016/j.atmosres.2009.05.013>.
- Lydolph, P. E. (1977), Climates of the Soviet Union. Elsevier Scientific Publishing Company. <https://doi.org/10.2307/2495290>
- Takahashi, H. (1990). Migration of the cold air mass related to rain belt formation of the Chinese continent and atmospheric systems during the Baiu season (in Japanese). *Geographical Review of Japan; Series A*, Vol 64, pp10-24.https://doi.org/10.4157/grj1984a.64.10_697.
- Takaya, K., & Nakamura, H. (2005). Mechanisms of intraseasonal amplification of the cold Siberian high. *Journal of the Atmospheric Sciences*, Vol62, No12, pp4423-4440.<https://doi.org/10.1175/JAS3629.1>
- Zhang, Y. (1996). Climatology of east Asia winter monsoon and cold surges program for climate model diagnosis and intercomparison (PCMDI)No. 38.
- Zhao, S., Feng, T., Tie, X., Long, X., Li, G., Cao, J., ... & An, Z. (2018). Impact of climate change on Siberian High and wintertime air pollution in China in past two decades. *Earth's Future*, Vol6, No2, pp 118-133.<https://doi.org/10.1002/2017EF000682>.



پژوهشگاه علوم انسانی و مطالعات فرهنگی
پرستال جامع علوم انسانی